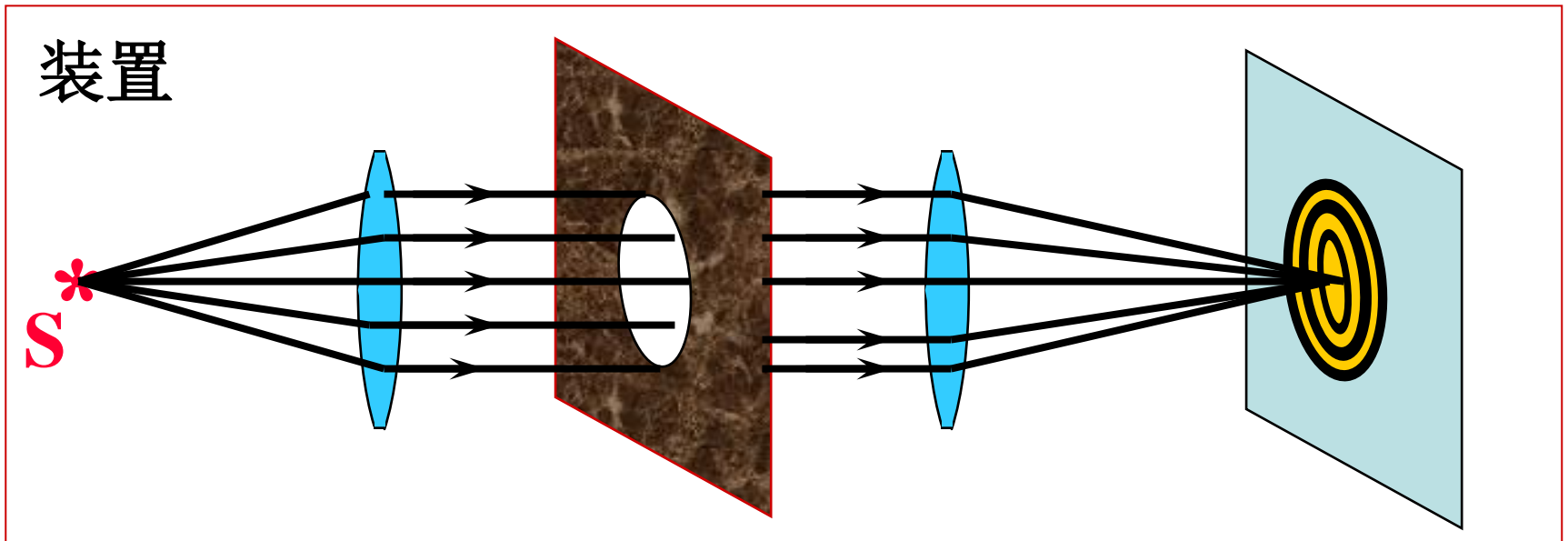


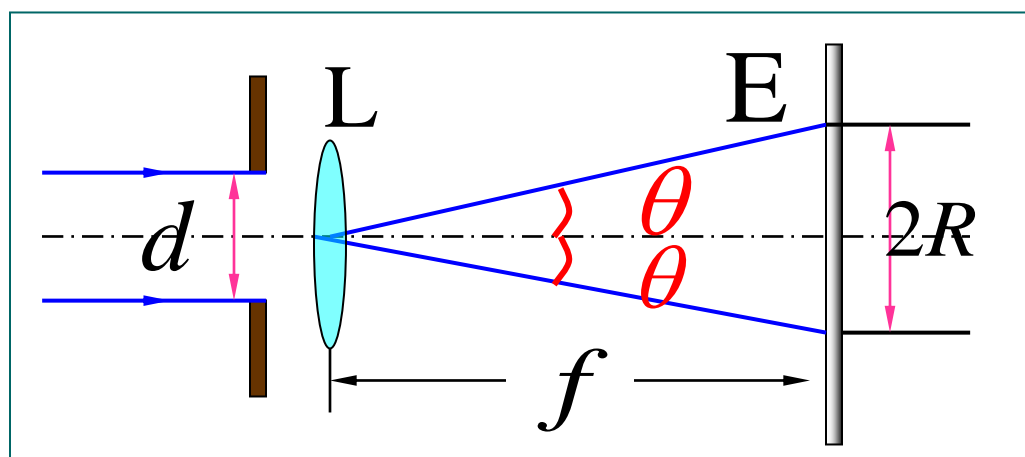
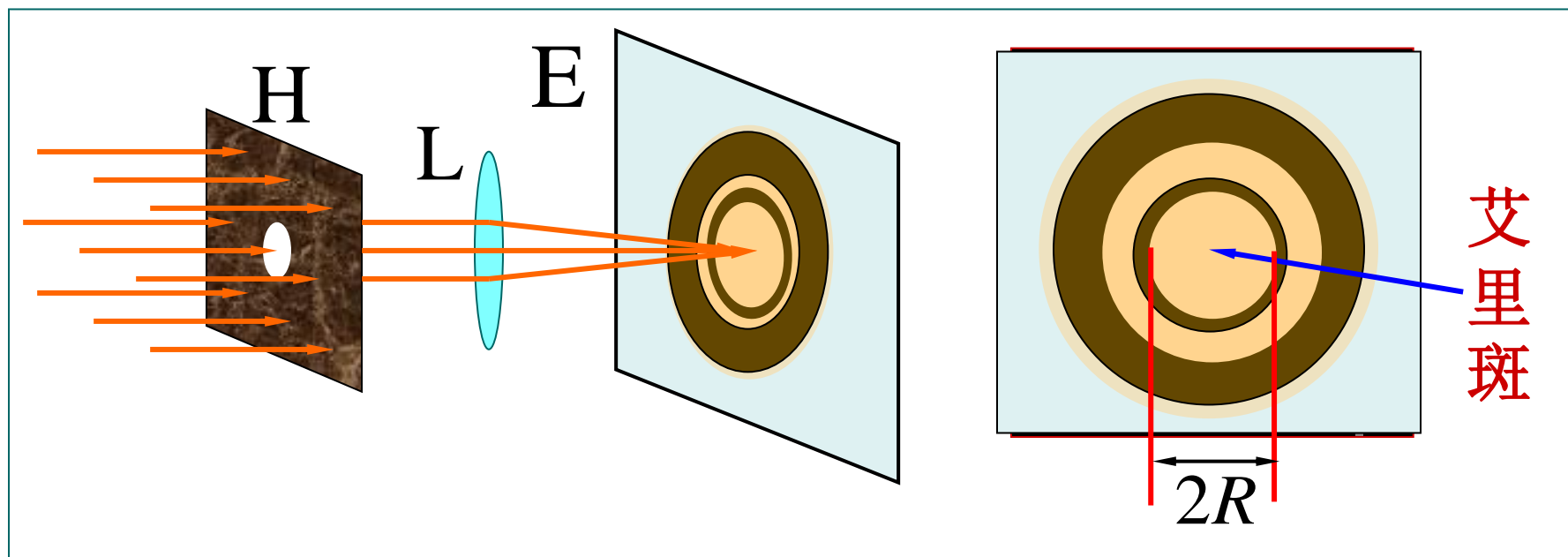
§ 12-9 圆孔的夫琅禾费衍射 光学仪器的分辨本领

圆孔的夫琅禾费衍射 光学仪器分辨本领

一 圆孔的夫琅禾费衍射



圆孔衍射

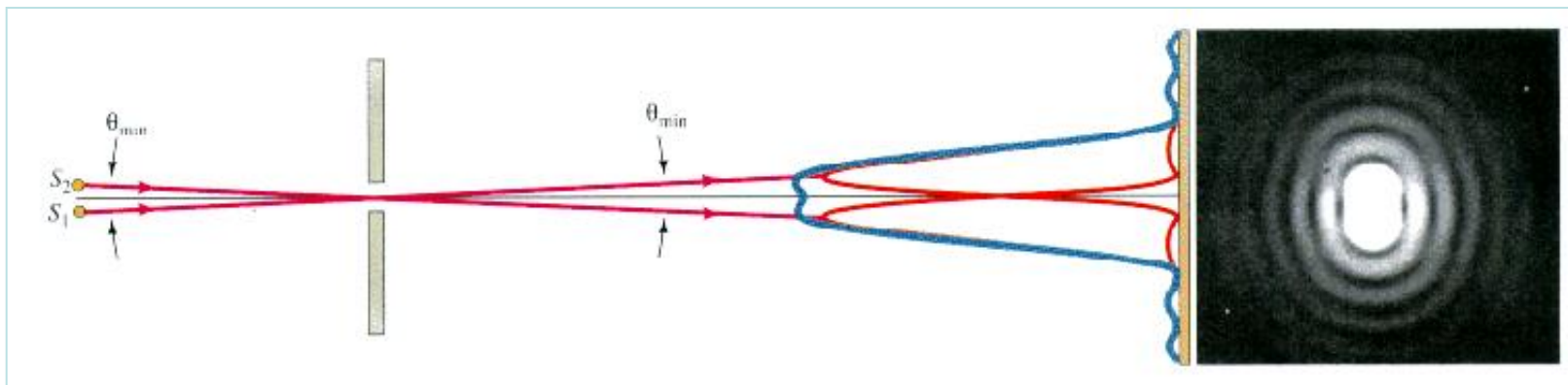
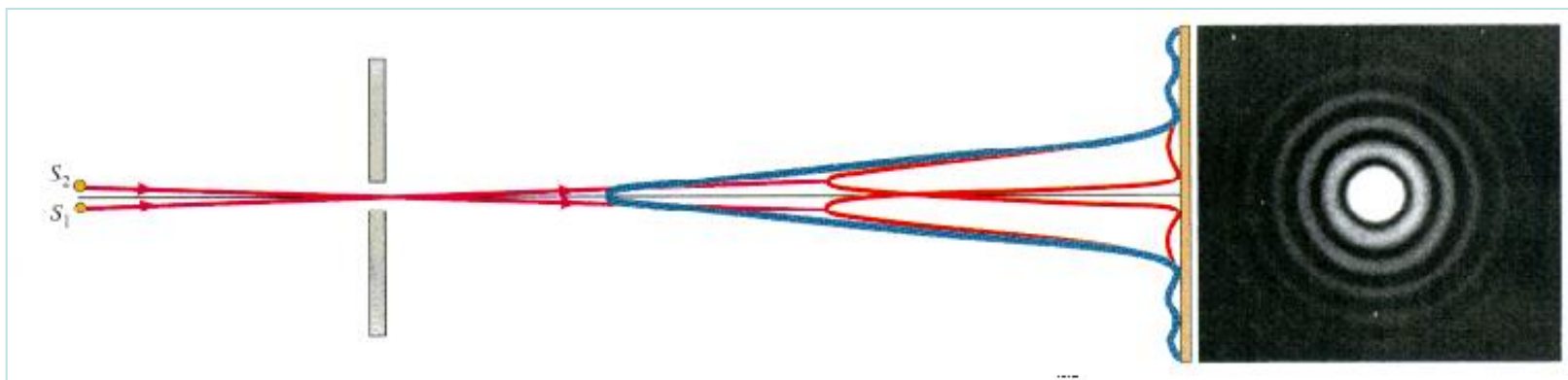
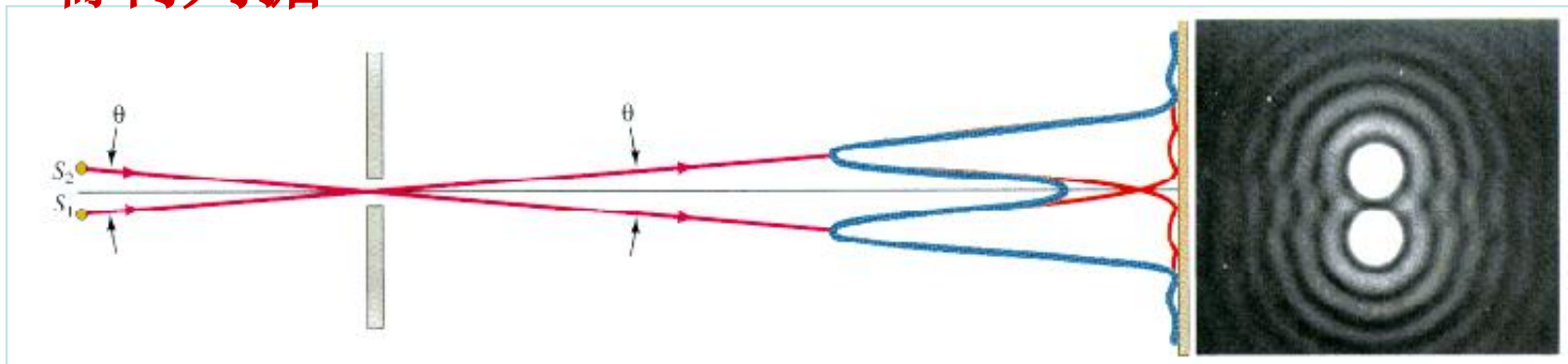


R : 艾里斑半径

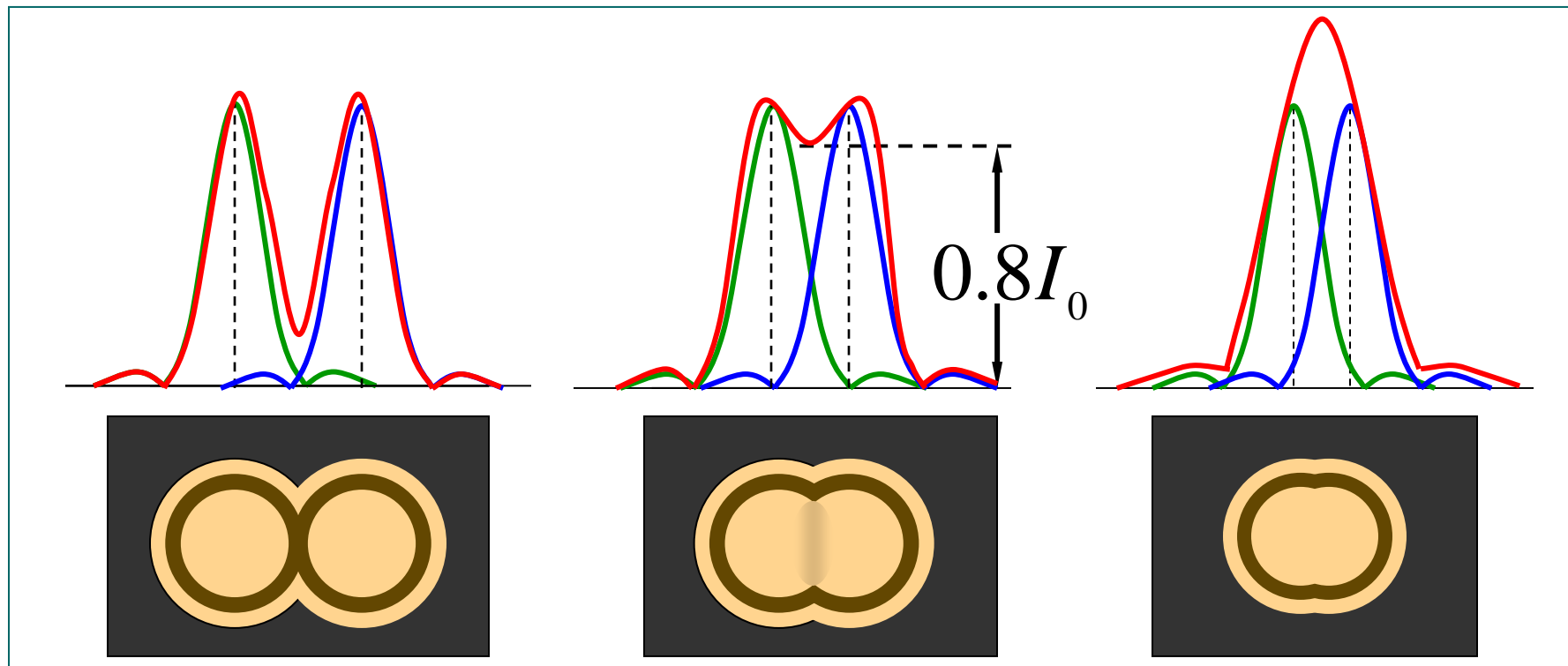
$$\theta \approx \sin \theta = 1.22 \frac{\lambda}{d}$$

$$R = f \tan \theta \approx 1.22 \frac{\lambda}{d} f$$

二 瑞利判据



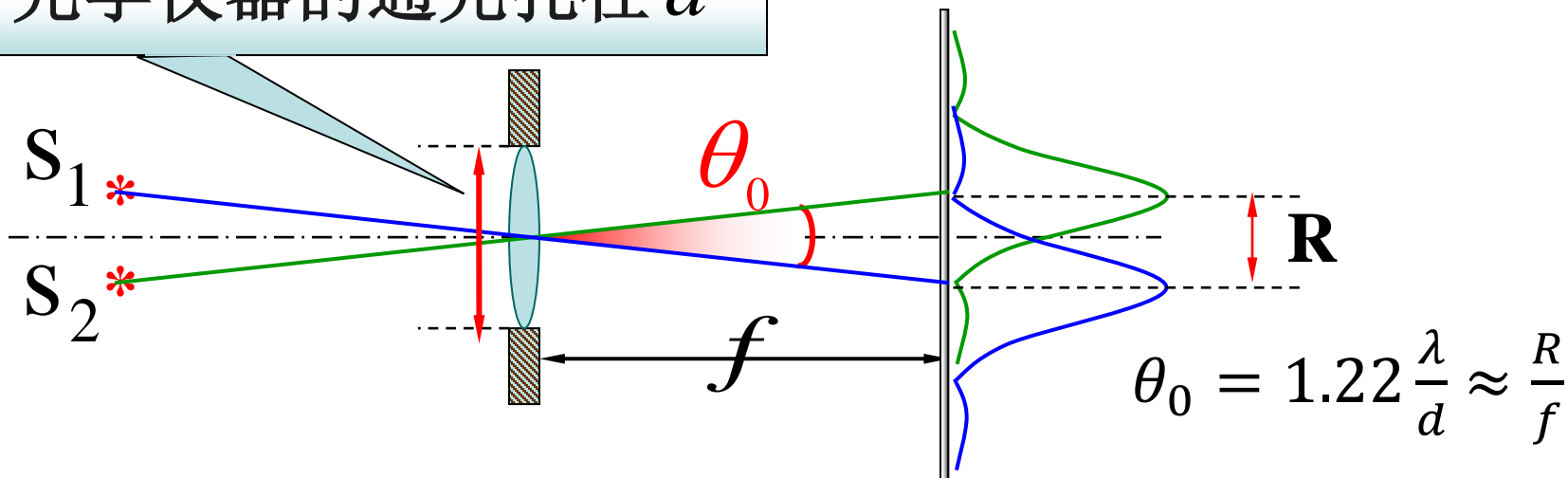
瑞利判据



对于两个强度相等的不相干的点光源（物点），一个点光源的衍射图样的**中央最亮处**刚好和另一点光源衍射图样的**第一暗处**相重合，这时两个点光源（或物点）恰为这一光学仪器所分辨。

三 光学仪器的分辨本领 （两光点刚好能分辨）

光学仪器的通光孔径 d



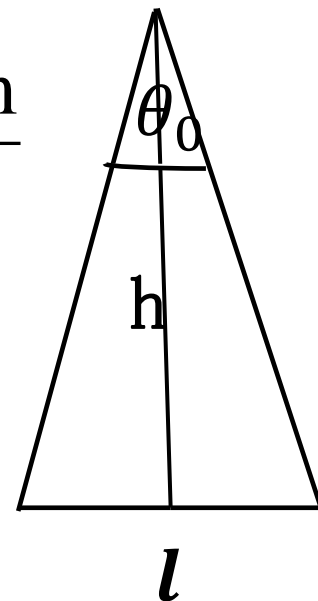
最小分辨角 $\theta_0 = 1.22 \frac{\lambda}{d}$

光学仪器分辨率 $= \frac{1}{\theta_0} = \frac{d}{1.22\lambda} \propto d, \frac{1}{\lambda}$

在通常的明亮环境中，人眼瞳孔的直径约为3 mm，人眼最敏感的波长为550nm，航天员在太空中能否看见长城（飞船距离地面最近高度约为200km）

人眼的最小分辨角

$$\theta_0 = 1.22 \frac{\lambda}{d} = \frac{1.22 \times 5.5 \times 10^{-7} \text{ m}}{3 \times 10^{-3} \text{ m}} \\ = 2.2 \times 10^{-4} \text{ rad}$$



人离长城距离为h，则

$$l = 2h \tan \frac{\theta_0}{2} \approx h\theta_0 2 \times 10^5 \times 2.2 \times 10^{-4} = 44 \text{ m}$$

例： 设人眼在正常照度下的瞳孔直径约为3mm，而在可见光中，人眼最敏感的波长为550nm， **问：**

(1) 人眼的最小分辨角有多大？

(2) 若物体放在距人眼25cm（明视距离）处，则两物点间距为多大时才能被分辨？

解 (1)

$$\theta_0 = 1.22 \frac{\lambda}{d} = \frac{1.22 \times 5.5 \times 10^{-7} \text{ m}}{3 \times 10^{-3} \text{ m}}$$
$$= 2.2 \times 10^{-4} \text{ rad}$$

(2)

$$R = l\theta_0 = 25\text{cm} \times 2.2 \times 10^{-4}$$
$$= 0.0055\text{cm} = 0.055\text{mm}$$

例：在通常的明亮环境中，人眼瞳孔的直径约为3 mm，问人眼的最小分辨角是多大？如果纱窗上两根细丝之间的距离 $l=2.0\text{mm}$ ，问离纱窗多远处人眼恰能分辨清楚两根细丝？

解：以视觉感受最灵敏的黄绿光来讨论，

其波长 $\lambda=550\text{nm}$ ，人眼最小分辨角

$$\theta_R = 1.22 \frac{\lambda}{d} = 2.2 \times 10^{-4} \text{ rad}$$

设人离纱窗距离为 S ，则 $\theta \approx \frac{l}{S}$

$$\text{恰能分辨} \quad \theta = \theta_R \Rightarrow S = \frac{l}{\theta_R} = 9.1\text{m}$$

§ 12-10 光栅衍射

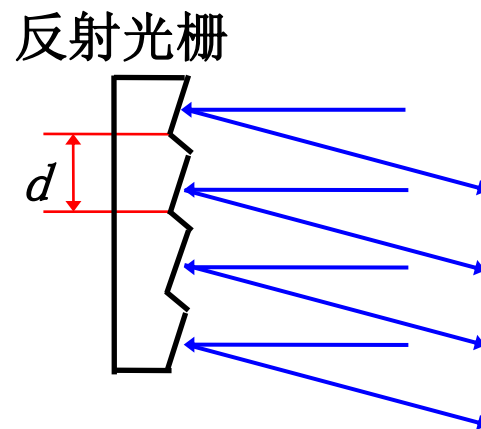
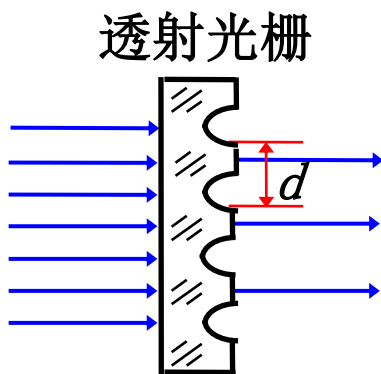
光栅衍射

一 光栅

大量等**宽度**、**等间距**的平行狭缝(或反射面)构成的光学元件。

种类:

光栅常数



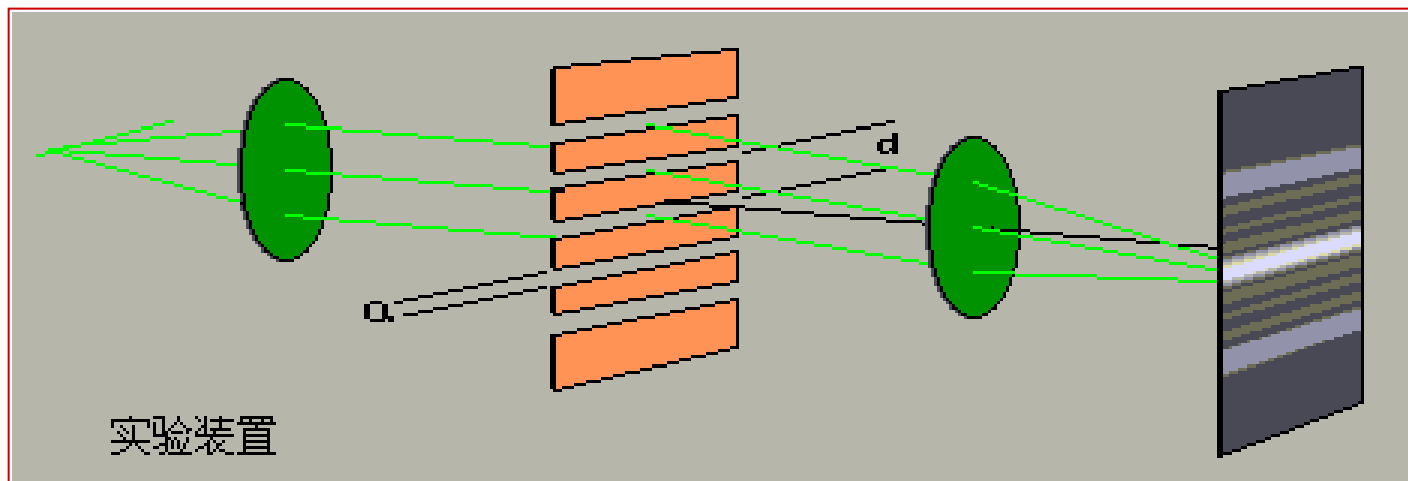
a是透光（或反光）部分的宽度
b是不透光（或不反光）部分的宽度

$$d = a + b$$

— 光栅常量

二 光栅衍射

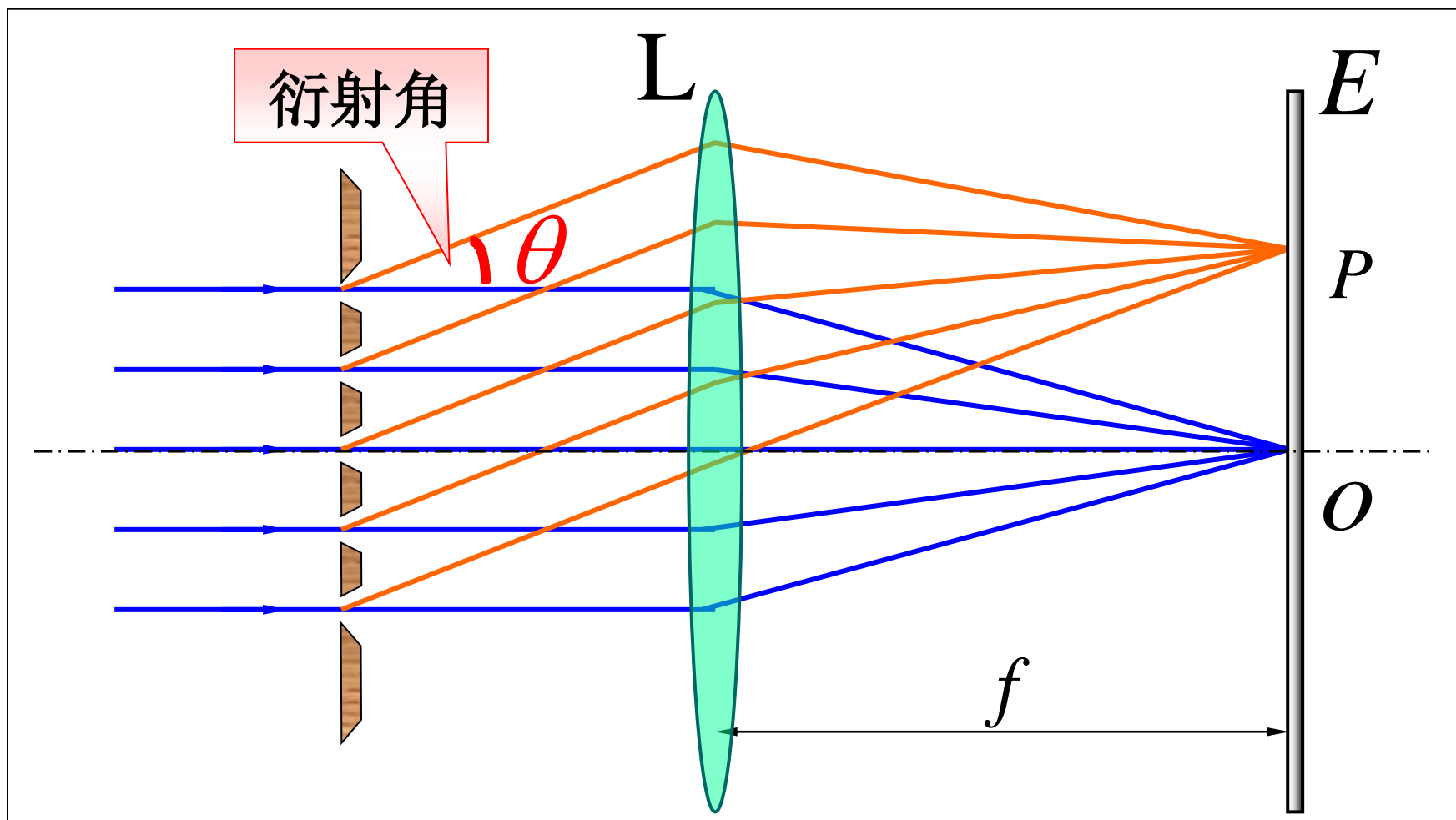
装置



思路：

- ① 先不计缝宽，将每缝光强各集中于一线光源讨论 N 个几何线光源的干涉；
- ② 计及缝宽：加上 N 个单缝衍射的影响。

光栅衍射



光栅衍射条纹的形成

光栅的衍射条纹是衍射和干涉的总效果

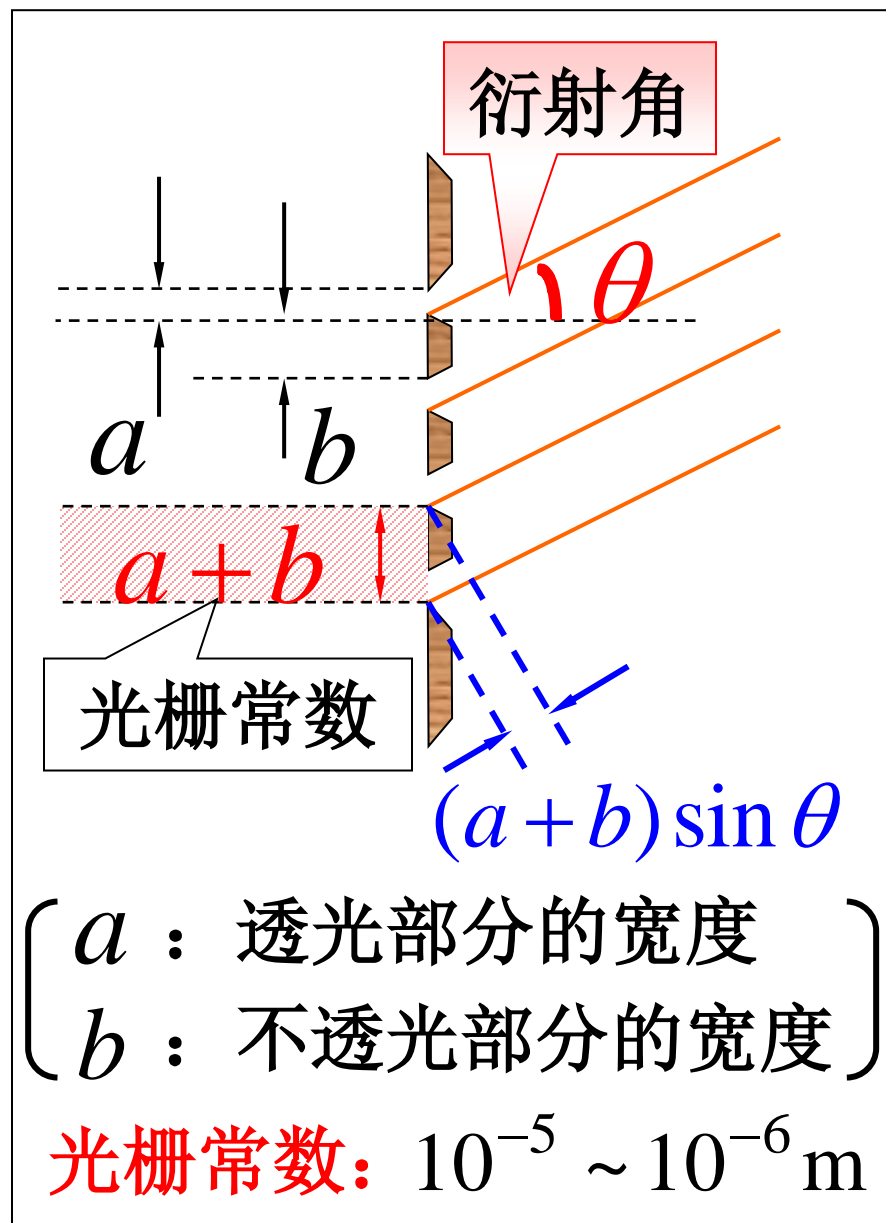
相邻两缝间的光程差：

$$\Delta = (a + b) \sin \theta$$

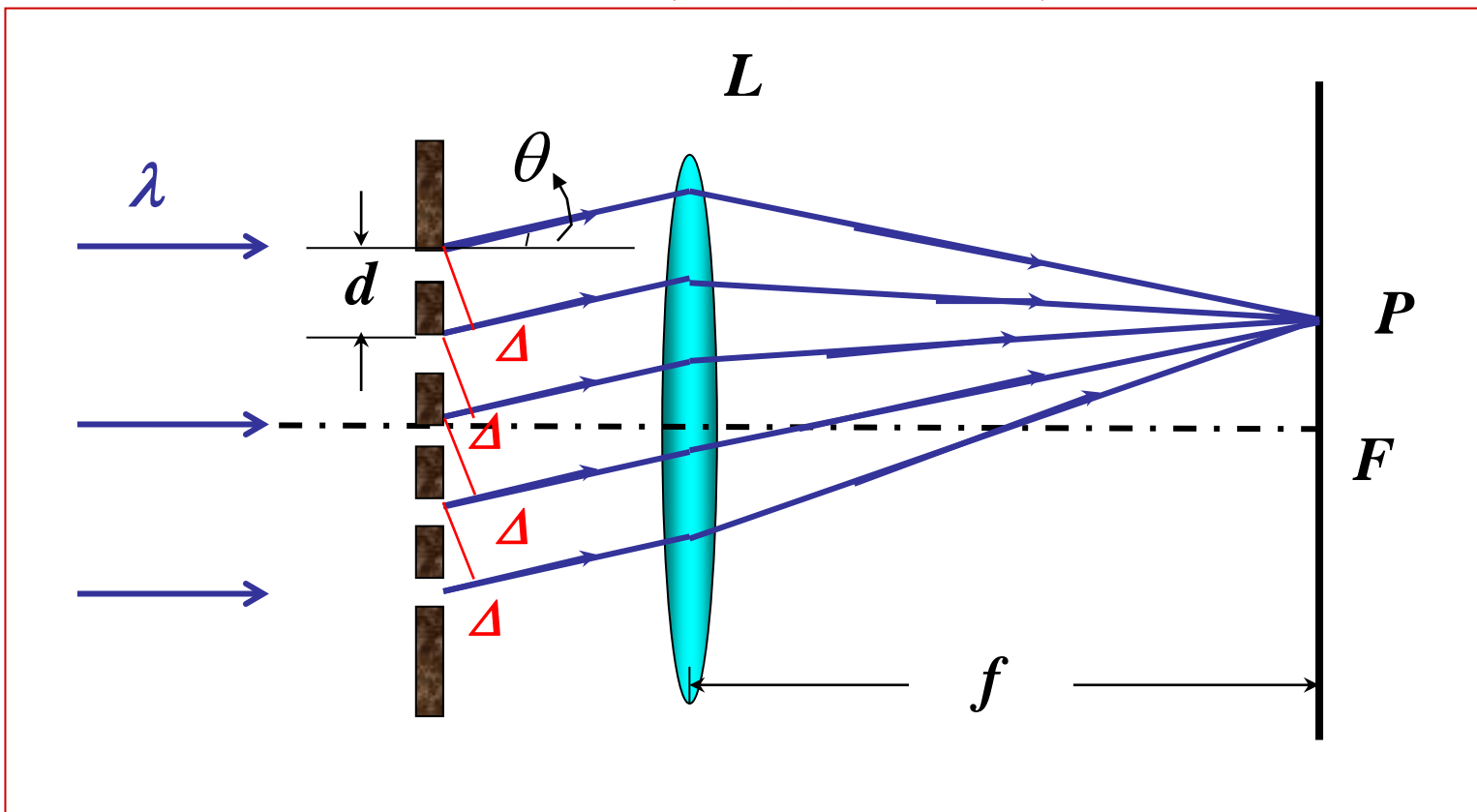
明纹位置

$$(a + b) \sin \theta = \pm k \lambda$$

$$(k = 0, 1, 2, \dots)$$



N 缝干涉光强分布



明纹主极大条件

$$d \sin \theta = \pm k \lambda \quad (k = 0, 1, 2, \dots)$$

——光栅方程

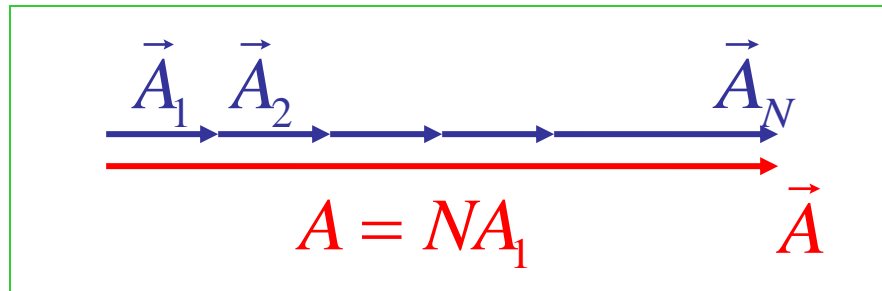
相邻两缝间的相位差: $\delta = 2\pi \frac{\Delta}{\lambda} = \frac{2\pi}{\lambda} \cdot d \sin \theta$

条纹特点（半定量讨论）

明纹中心（主明纹、主极大）条件

$$\Delta = d \sin \theta = k \lambda$$

$$(k = 0, \pm 1, \pm 2, \cdots)$$



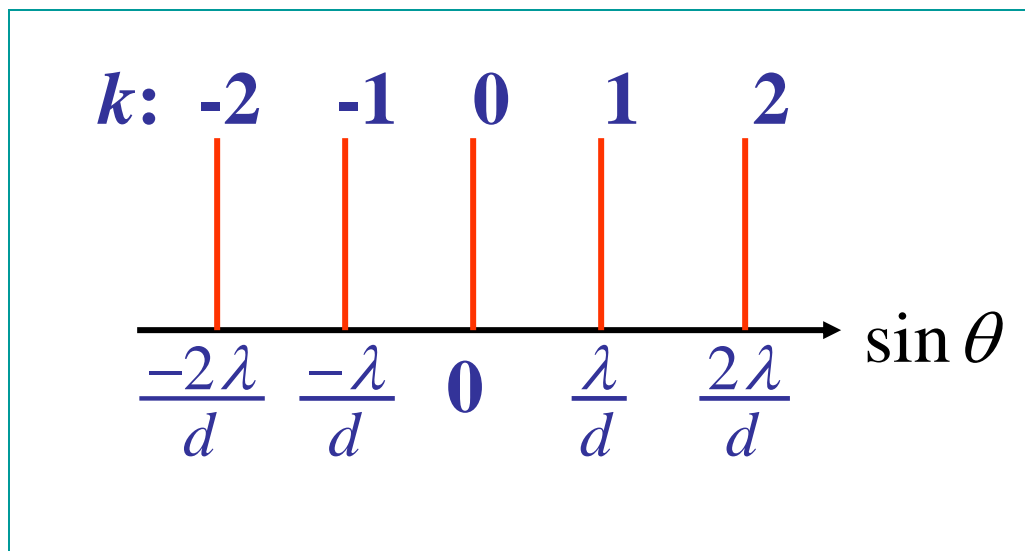
位置: $\sin \theta = k \frac{\lambda}{d}$

亮度: $I = N^2 I_1$

最高级次:

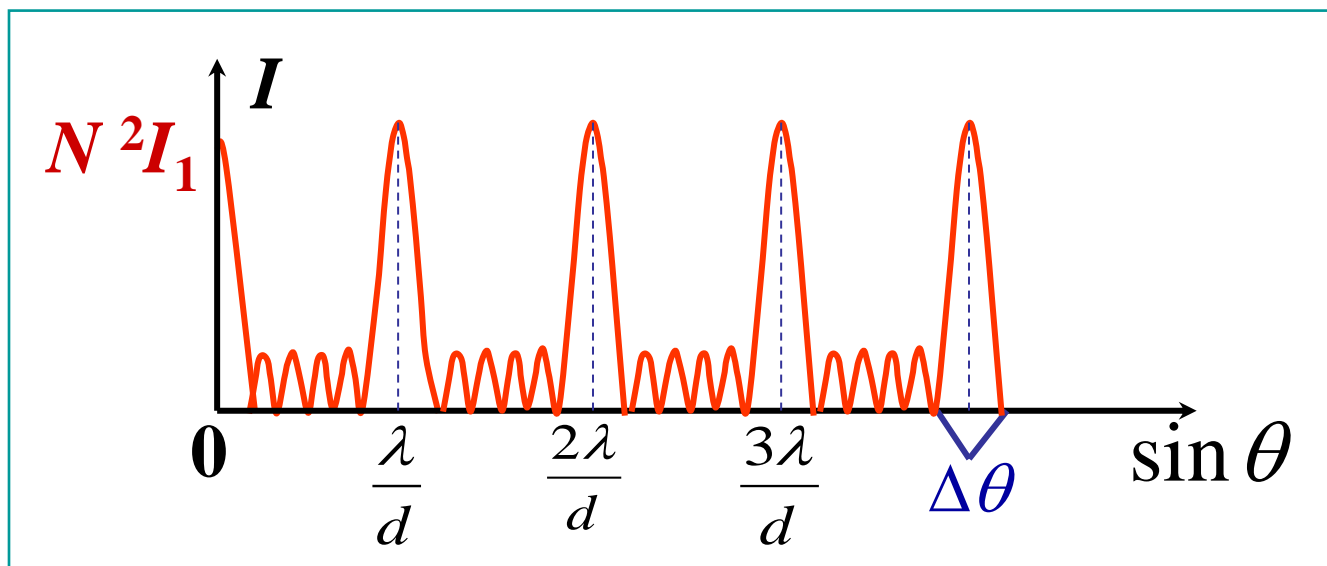
$$|\sin \theta| < 1$$

$$k_m < \frac{d}{\lambda} \quad (\text{例: } \frac{d}{\lambda} = 4 \cdot 2, k_m = 4; \frac{d}{\lambda} = 4, k_m = 3)$$



不计缝宽， N 个几何线光源干涉的结果：

暗区（ $N-1$ 条暗纹， $N-2$ 条次级大）背景上出现
细窄明亮的主明纹

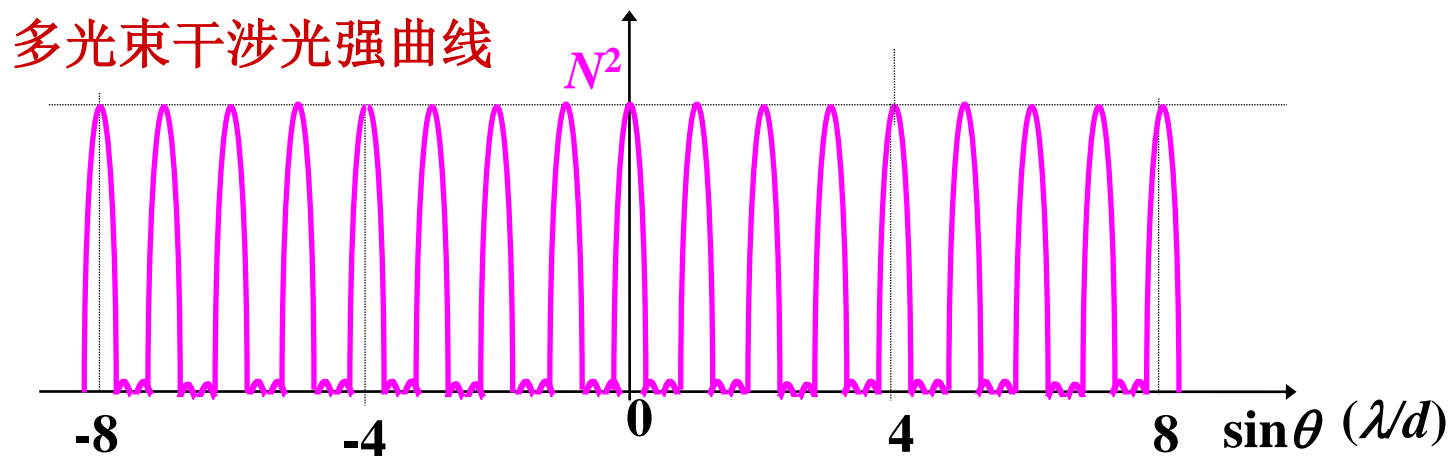


光栅公式： $d \sin \theta = k\lambda$ ($k = 0, \pm 1, \pm 2, \dots$)

亮度： $I = N^2 I_1$

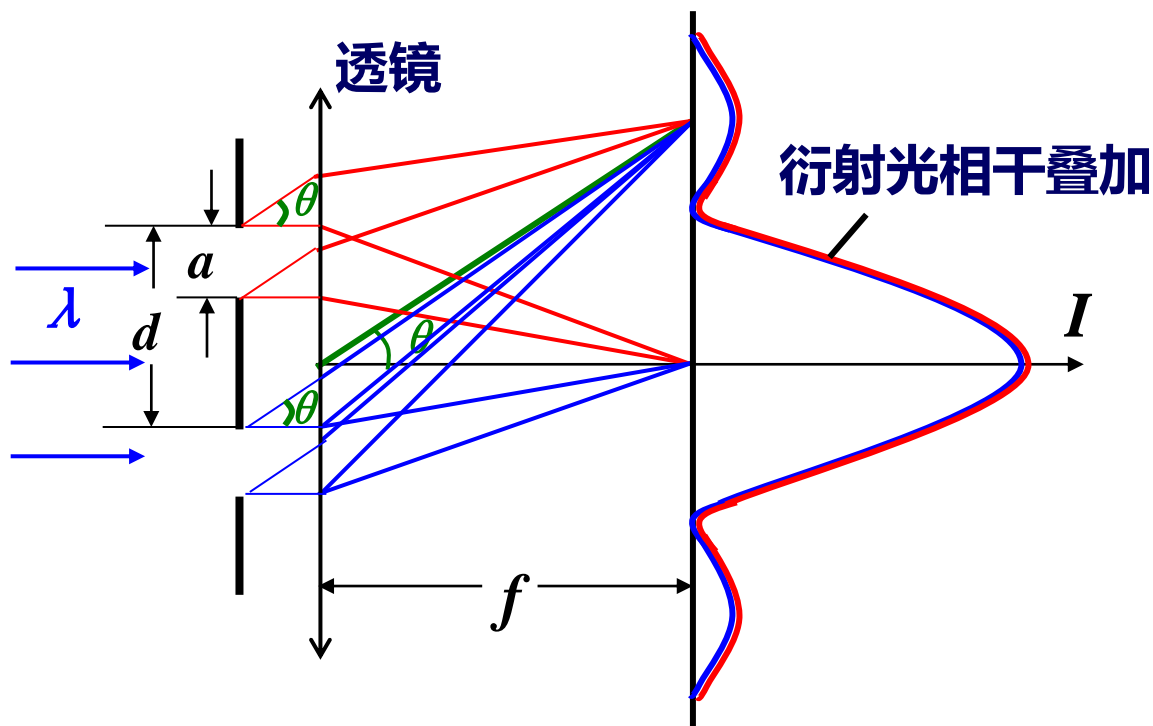
不考虑衍射时，多缝干涉的光强分布图：

$$N = 4, \quad d = 4a$$

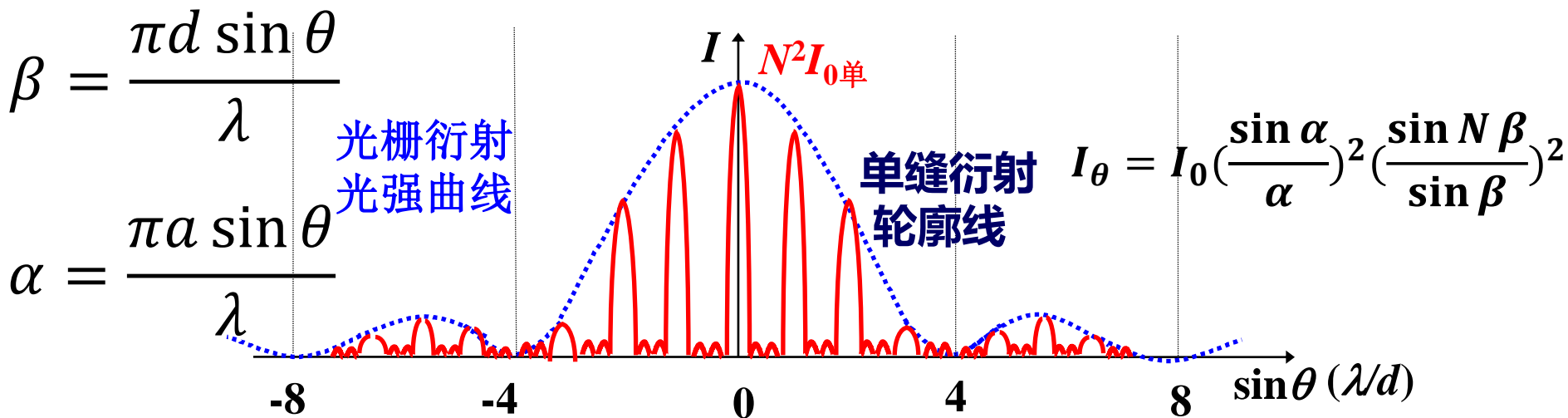
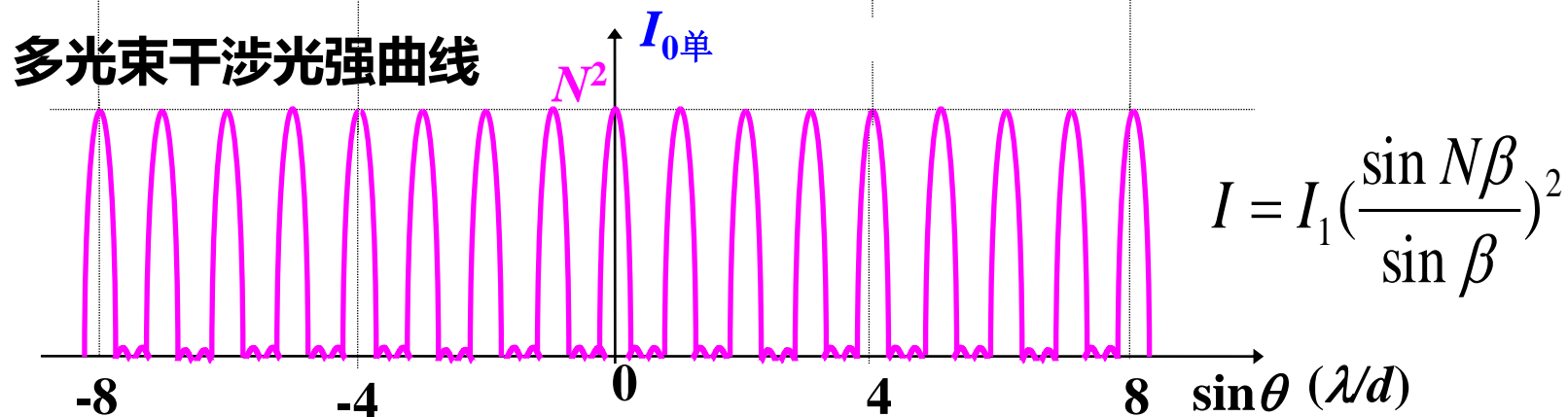
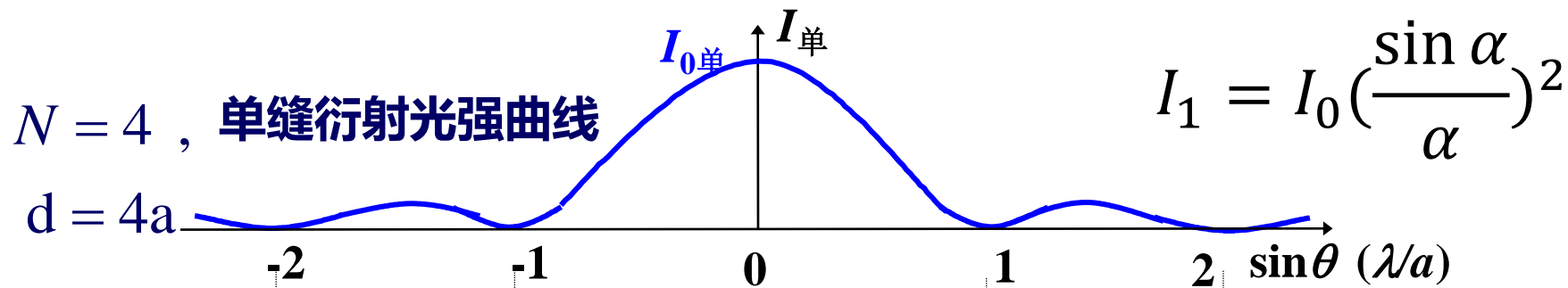


分析 N 个单缝衍射的影响

N 个单缝衍射的影响彼此是否一致？

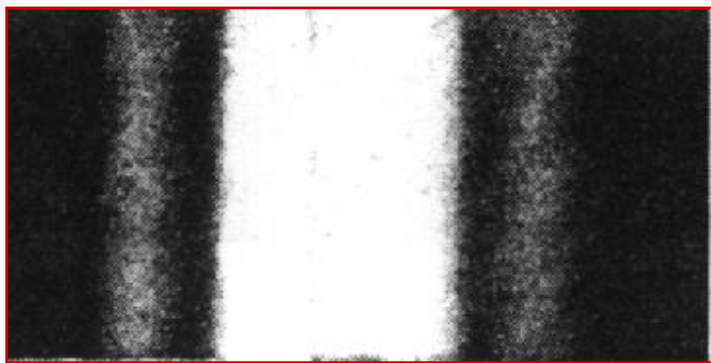


每条缝的单缝衍射条纹彼此重合

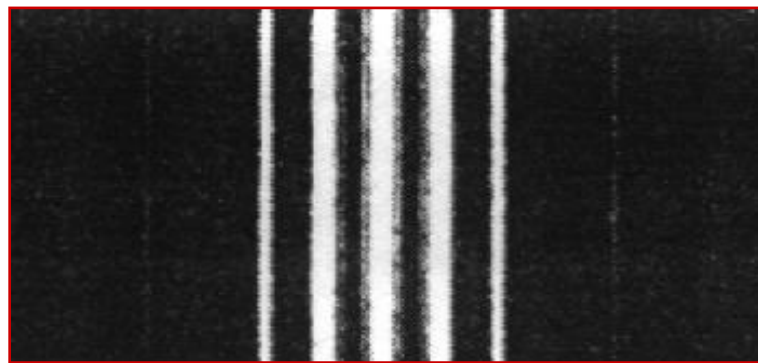


光栅中狭缝条数越多明纹越亮

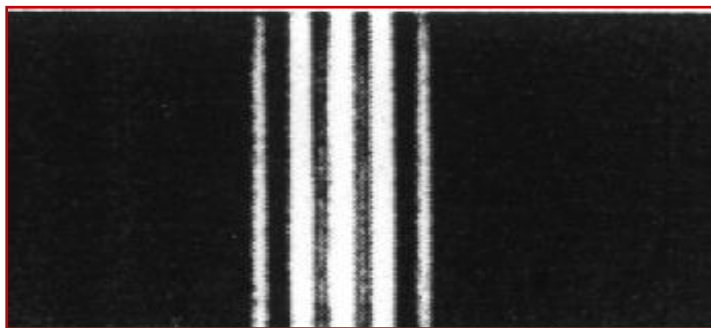
亮纹的光强 $I = N^2 I_0$ (N : 狭缝数, I_0 : 单缝光强)



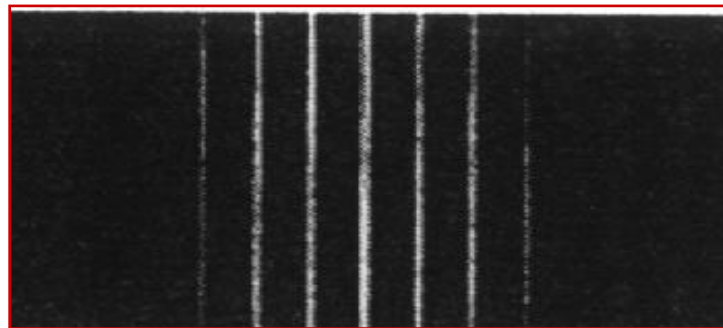
1 条 缝



5 条 缝



3 条 缝



20 条 缝

缺级条件:

光栅主明纹: $d \sin \theta = (a + b) \sin \theta = k\lambda$
($k = 0, \pm 1, \pm 2, \dots$)

单缝暗纹: $a \sin \theta = k'\lambda$ ($k' = \pm 1, \pm 2, \dots$)

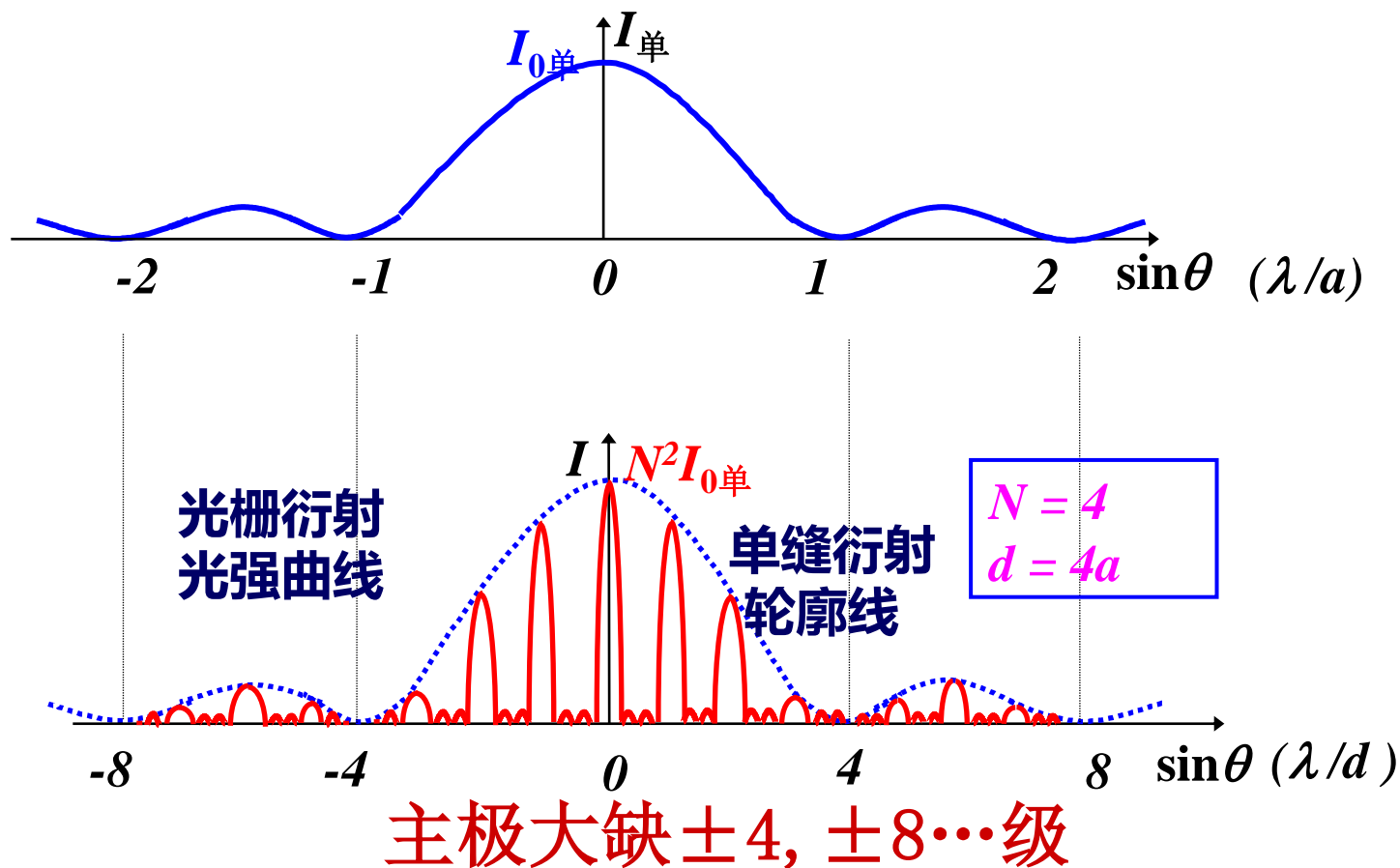
若同时满足, 则第 k 级主明纹消失。

即: 当 $\frac{d}{a} = \frac{a+b}{a} = \frac{k}{k'}$ (为整数比)

缺级: $k = \frac{d}{a} \cdot k'$ ($k' = \pm 1, \pm 2, \dots$)

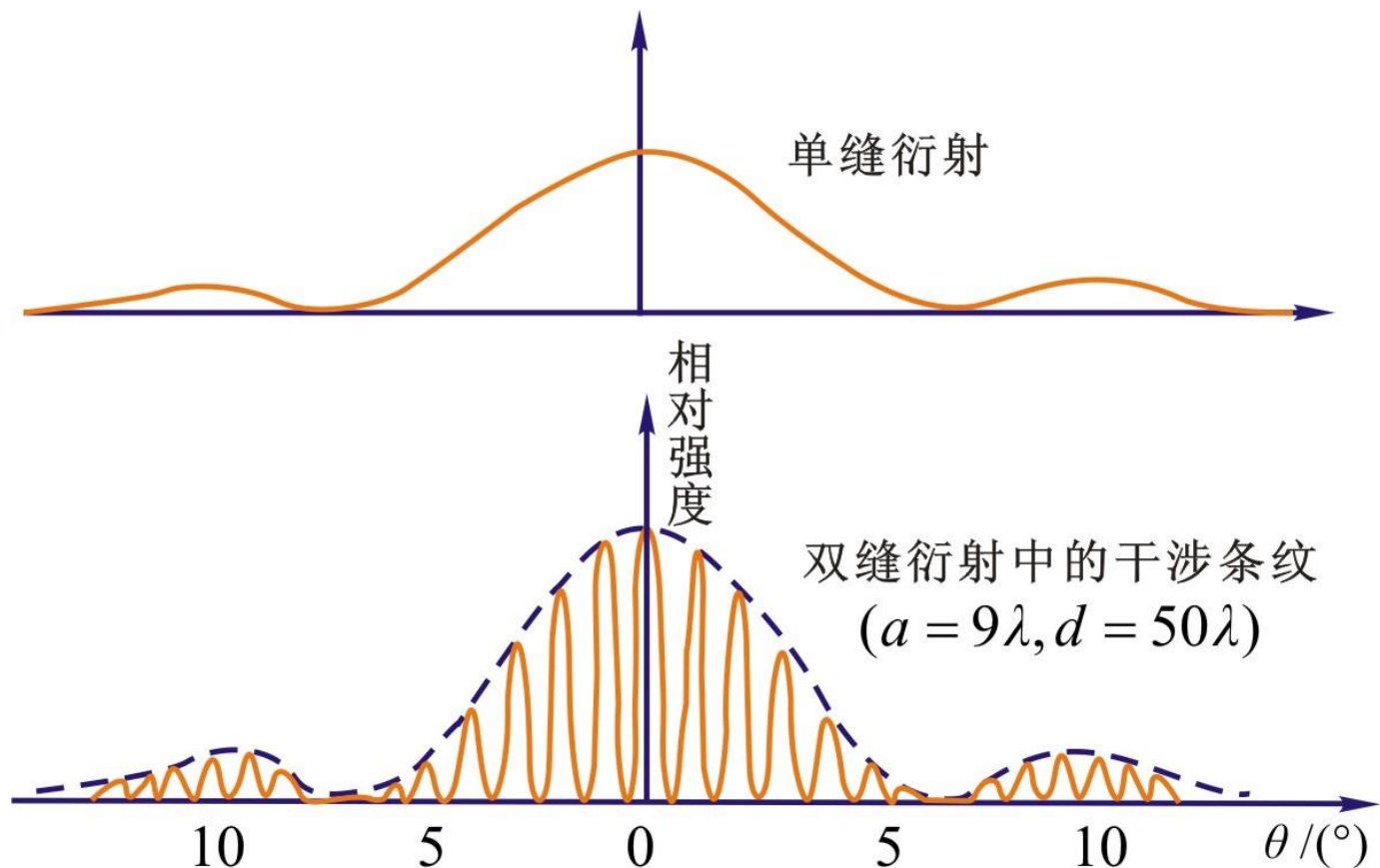
缺级 $\frac{b}{a}$ 为整数比时，明纹会出现**缺级**

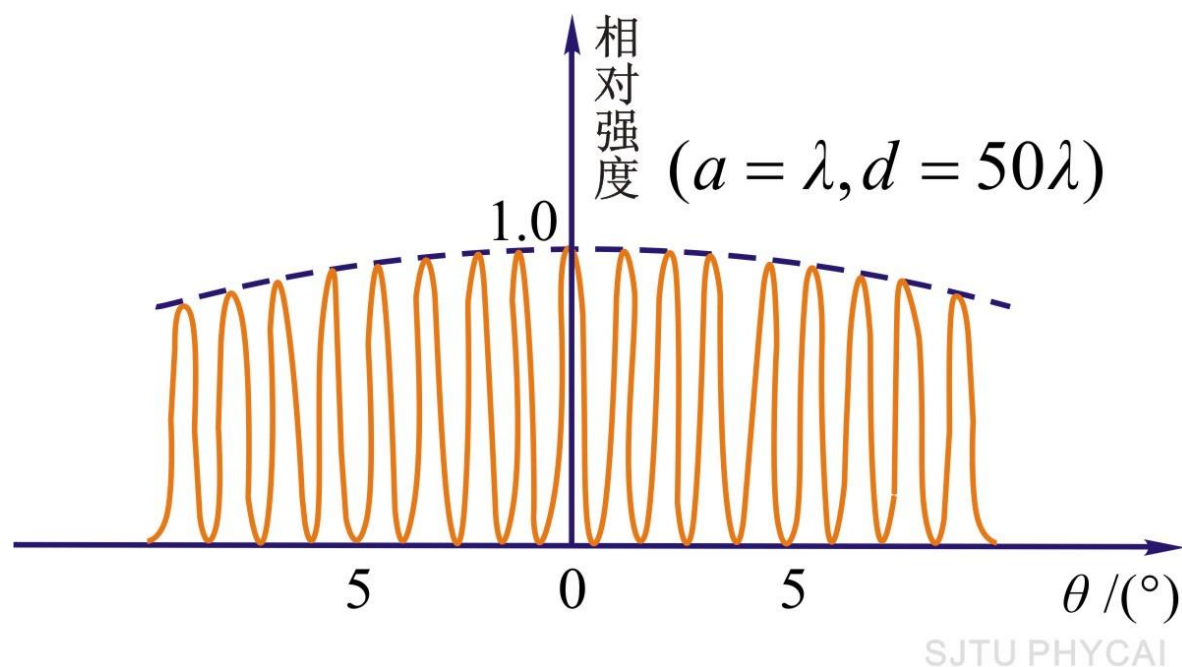
$N = 4$,
 $d = 4a$ 的单缝衍射和光栅衍射的光强分布曲线



干涉和衍射的区别和联系

双缝干涉的光强分布受到单缝衍射光强分布的调制——**双缝衍射**





光栅缝宽越小，衍射对干涉条纹的调制越弱，
此时光栅衍射可称为多光束干涉

从光波相干叠加来看，干涉和衍射无本质区别。

通常有限光束的相干叠加称干涉，无限子波的
相干叠加称衍射。

例：入射光 $\lambda = 500\text{nm}$, 由图中衍射光强分布确定

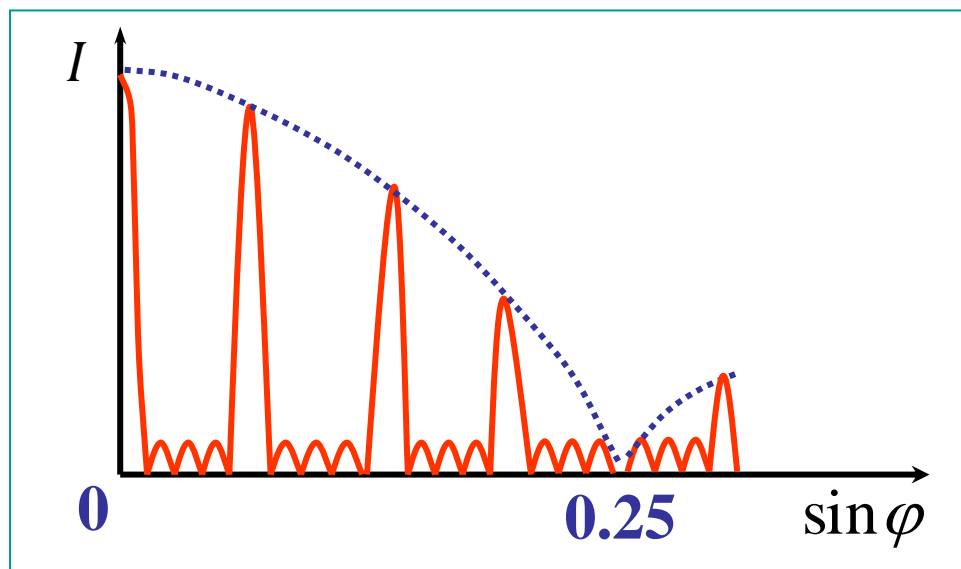
(1) 缝数 $N=?$ (2) 缝宽 $a=?$ (3) 光栅常数 $d = a + b=?$

解： (1) $N = 5$

(2) $a \sin \varphi = k' \lambda$

$$k' = 1 \quad \sin \varphi = 0.25$$

$$a = \frac{5000}{0.25} = 2 \times 10^4 \text{ \AA}$$



(3) $d \sin \varphi = k \lambda \quad k = 4 \quad \sin \varphi = 0.25$

$$d = \frac{4 \times 5000}{0.25} = 8 \times 10^4 \text{ \AA}$$

或由缺级 $\frac{d}{a} = 4 \quad d = 4a = 8 \times 10^4 \text{ \AA}$

例12-13 用每毫米500条栅纹的光栅，观察钠光谱线 ($\lambda=590\text{ nm}$) 问：(1) 光线垂直入射；(2) 光线以入射角 30° 入射时，最多能看到几级条纹？

解： (1) $(a+b)\sin\varphi=k\lambda$

$$k = \frac{a+b}{\lambda} \sin\varphi \quad -\frac{\pi}{2} < \varphi < \frac{\pi}{2} \quad |\sin\varphi| < 1$$

$$a+b = \frac{1 \times 10^{-3}}{500} = 2 \times 10^{-6} \text{ m}$$

$$-\frac{a+b}{\lambda} < k < \frac{a+b}{\lambda} \quad \frac{a+b}{\lambda} = \frac{2 \times 10^{-6}}{5900 \times 10^{-10}} \approx 3.39$$

最多能看到 $k=3, 2, 1, 0, -1, -2, -3$ 级条纹。

$$(2) (a+b)\sin\theta - (a+b)\sin\theta' = k\lambda$$

$$k = \frac{(a+b)(\sin\theta - \sin\theta')}{\lambda}$$

$k = 0, \theta' = \theta = 30^\circ$, 沿入射方向得到中央明纹

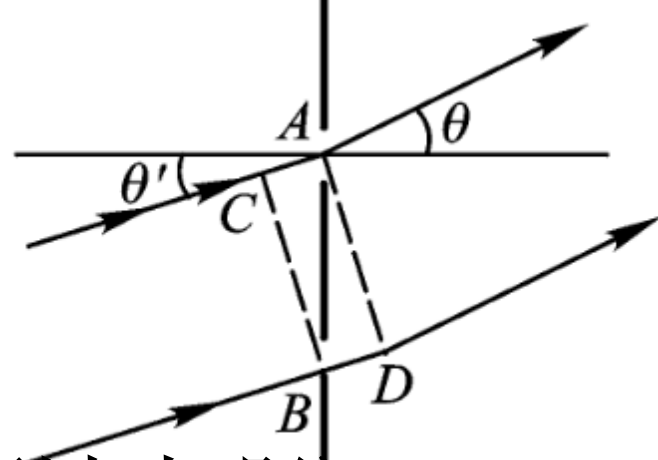
$$< \frac{2 \times 10^{-6} \times (\sin 90^\circ - \sin 30^\circ)}{5900 \times 10^{-10}} \approx 1.7 \quad \text{上侧最大: } k = 1$$

$$k = \frac{(a+b)(\sin\theta - \sin\theta')}{\lambda}$$

$$> \frac{2 \times 10^{-6} \times (\sin(-90^\circ) - \sin 30^\circ)}{5900 \times 10^{-10}} \approx -5.09$$

下侧最大: $k = -5$

最多能看到 $k = -5, -4, -3, -2, -1, 0, 1$ 级条纹。



例12-14 N 根天线沿一水平直线等距离排列组成天线列阵，每根天线发射同一波长 λ 的球面波，从第1根天线到第 N 根天线，相位依次落后 $\pi/2$ ，天线间距 $\lambda/2$ ，求在什么方向上，天线阵列的电磁波最强。

解：

将每根天线发射的球面波，
视为子波

阵列可视为光栅



相邻天线的相位差，等效的波程差为

$$\Delta\varphi = \frac{\pi}{2} = \frac{2\pi}{\lambda} \delta' \Rightarrow \delta' = \frac{\lambda}{4}$$

两根相邻天线在 θ 方向的波程差为（以天线转到法线顺时针为正）

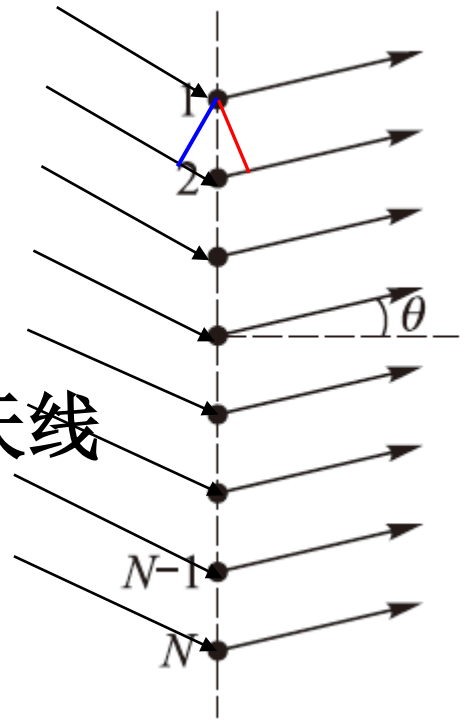
$$\delta = d \sin \theta + \delta'$$

干涉主极大满足

$$\frac{\lambda}{2} \sin \theta + \frac{\lambda}{4} = \pm k\lambda \Rightarrow \theta = \arcsin\left(\pm 2k - \frac{1}{2}\right)$$

零级主极大的方向，即电磁波最强方向

$$K = 0 \text{ 时, } \theta = -30^\circ$$

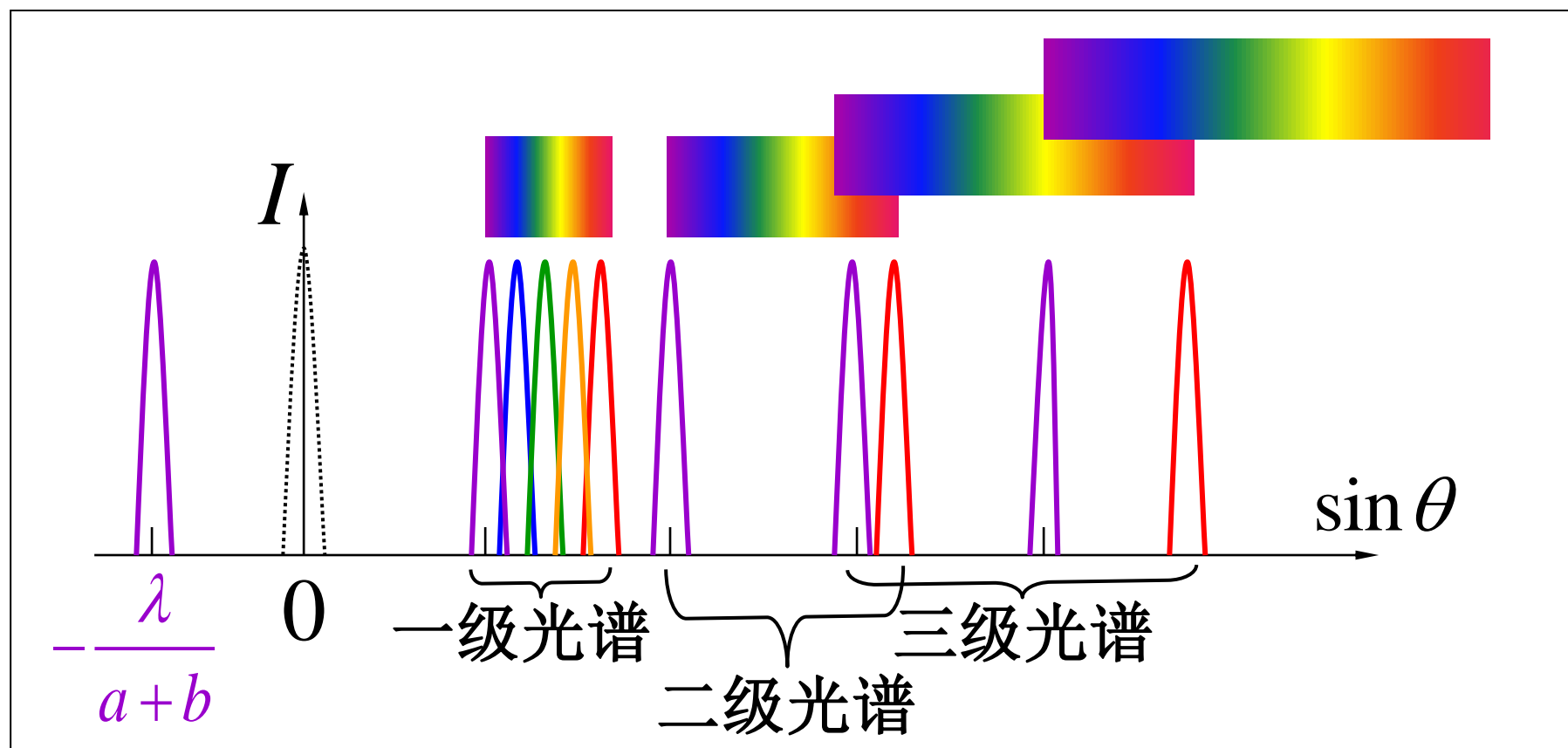


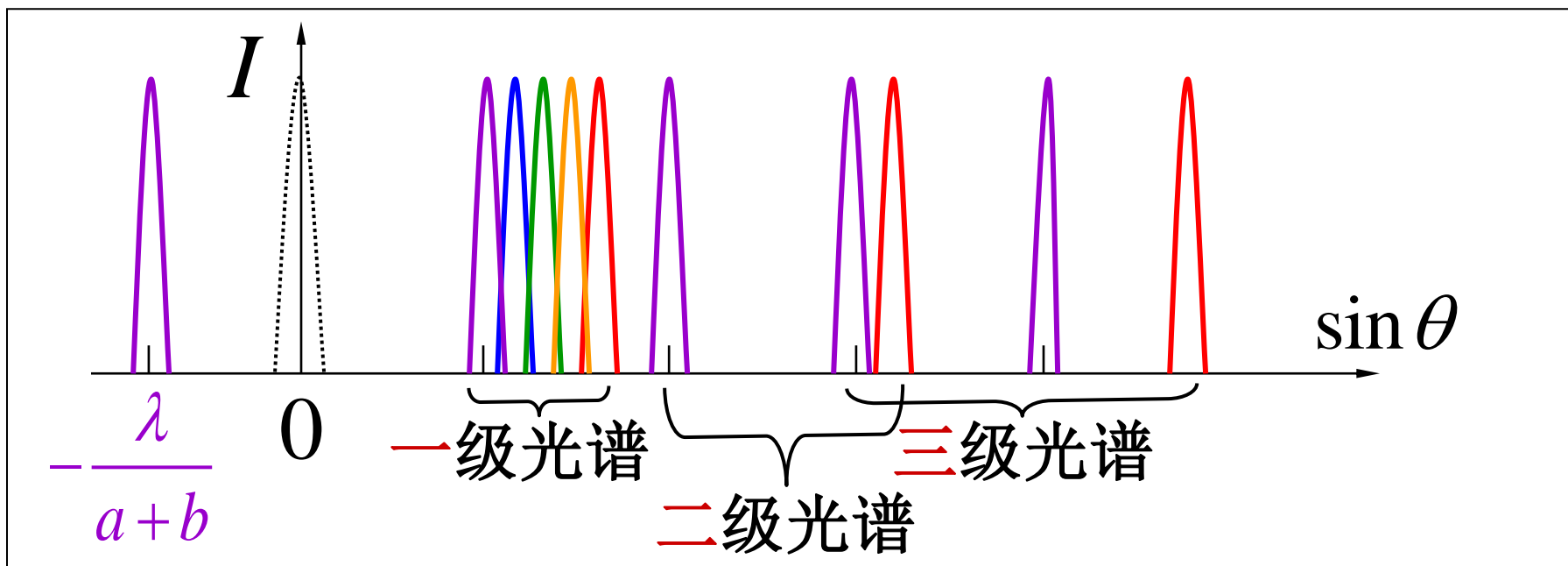
三 衍射光谱

◆ 衍射光谱

$$(a + b) \sin \theta = \pm k \lambda \quad (k = 0, 1, 2, \dots)$$

入射光为白光时， λ 不同， θ_k 不同，按波长分开形成光谱.





例如 二级光谱重叠部分光谱范围

$$\left\{ \begin{array}{l} (a+b)\sin\theta = 3\lambda_{\text{紫}} \\ (a+b)\sin\theta = 2\lambda \end{array} \right.$$

$$\lambda = 400 \sim 760\text{nm}$$

$$\lambda = \frac{3}{2}\lambda_{\text{紫}} = 600\text{nm}$$

二级光谱重叠部分:

$$600 \sim 760\text{nm}$$

例：一平行衍射光栅，每厘米刻1000条刻痕，用可见光垂直入射，缝后透镜焦距 $f = 100\text{cm}$ 。

(1) 求光栅衍射第一级完整可见光谱所占宽度。

(2) 证明第二、三级光谱重叠。

(3) 用红光 $\lambda = 7000\text{\AA}$ 入射, $b = 3a$, 最多看到主明纹条数?

解： (1) $d = a + b = 10^{-5}\text{ m}$ $d \sin \varphi = k\lambda$

$$k = 1: \quad \lambda_1 = 4 \times 10^{-7}\text{ m} \quad \sin \varphi_1 = \frac{\lambda_1}{d} = 0.04$$

$$\lambda_2 = 7 \times 10^{-7}\text{ m} \quad \sin \varphi_2 = \frac{\lambda_2}{d} = 0.07$$

$$\Delta x = f(\text{tg} \varphi_2 - \text{tg} \varphi_1) \approx f(\sin \varphi_2 - \sin \varphi_1) = 3(\text{cm})$$

(2) 红光 $k = 2 \quad \sin \varphi = \frac{2\lambda_1}{d} = 0.14$

紫光 $k = 3 \quad \sin \varphi' = \frac{3\lambda_2}{d} = 0.12 < 0.14$

所以 二、三级光谱重叠

(3) $k_m < \frac{d}{\lambda} = 14.2 \quad k_{\max} = 14$

缺级 $d = a + b = 4a$

$$\left. \begin{array}{l} d \sin \varphi = k\lambda \\ a \sin \varphi = k'\lambda \end{array} \right\} \quad \begin{array}{l} k = 4k' \\ k' = \pm 1, \pm 2, \pm 3 \end{array}$$

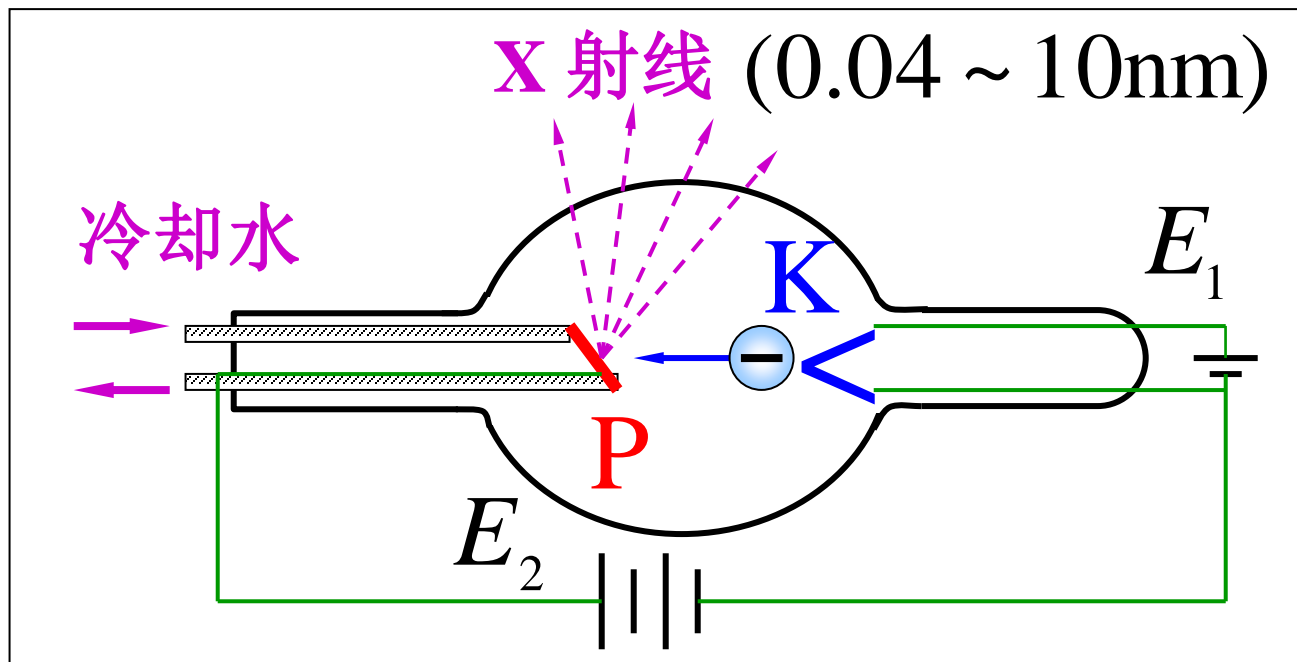
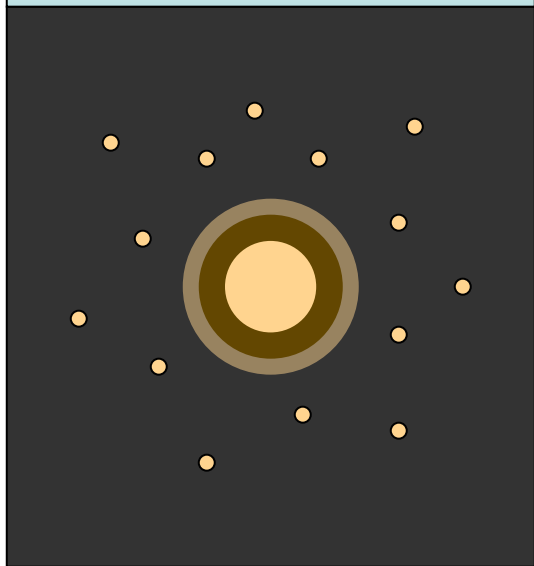
第 12、8、4、-4、-8、-12 级主明纹缺级

最多可见主明纹 $2 \times 14 + 1 - 6 = 23$ 条

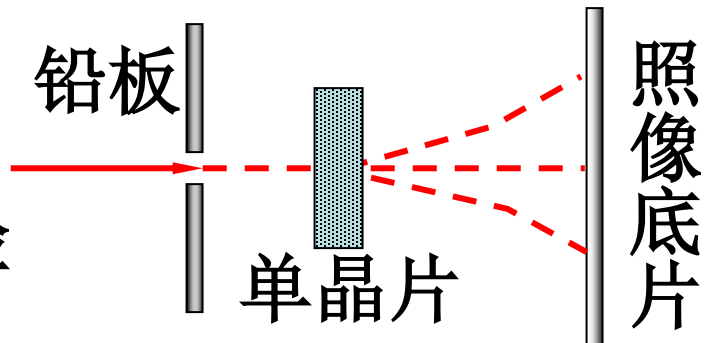
* § 12-11 X射线的衍射

1895年伦琴发现，受高速电子撞击的金属会发射一种穿透性很强的射线称X射线。

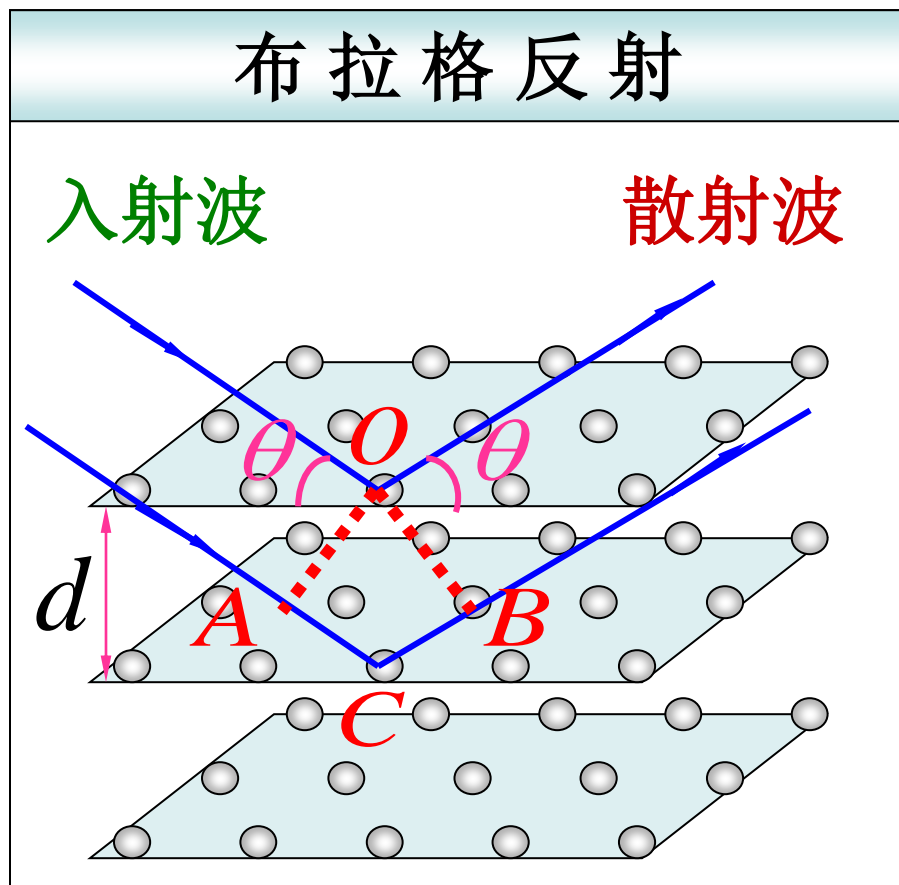
劳厄斑点



单晶片的衍射
1912年劳厄实验



1913年英国布拉格父子提出了一种解释X射线衍射的方法，给出了定量结果，并于1915年荣获物理学诺贝尔奖。



晶面间距 d 掠射角 θ

$$\Delta = AC + CB \\ = 2d \sin \theta$$

相邻两个晶面反射的
两X射线干涉加强的条件

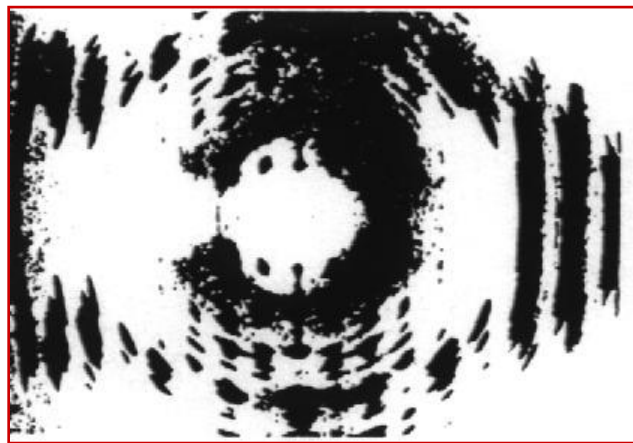
布拉格公式

$$2d \sin \theta = k\lambda$$

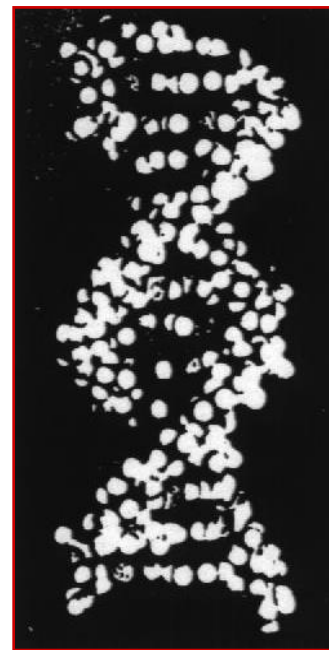
$$k = 0, 1, 2, \dots$$

布拉格公式 $2d \sin \theta = k\lambda$ $k = 0, 1, 2, \dots$

用途 测量射线的波长研究X射线谱，进而研究原子结构；研究晶体的结构，进一步研究材料性能. 例如对大分子 **DNA** 晶体的成千张的X射线衍射照片的分析，显示出DNA分子的**双螺旋**结构.



DNA 晶体的X衍射照片



DNA 分子的双螺旋结构